82. Synthese und NMR-Spektren von Nonafulven sowie Vergleich mit 10-Phenylnonafulven¹)

von Jürg Furrer²), Peter Bönzli, Alfred Frey²) und Markus Neuenschwander*

Institut für Organische Chemie der Universität Bern, Freiestrasse 3, CH-3012 Bern

und Peter Engel

Laboratorium für chemische und mineralogische Kristallographie, Universität Bern, Freiestrasse 3, CH-3012 Bern

Herrn Prof. Dr. Hans Nitschmann zum 80. Geburtstag gewidmet

(25.11.87)

Synthesis and NMR Spectra of Nonafulvene and Comparison with 10-Phenylnonafulvene

Experimental procedures for the reaction of cis,cis,cis,trans-cyclononatetraenide (ccct-CNT⁻; see 4) with bromomethyl acetate (1a, R = H, X = Br) to give (cyclononatetraenyl)methyl acetate (5a; 84% yield) as well as for the base-induced elimination of HOAc from 5a to give nonafulvene (6a; 44% yield) are described. Spectroscopic as well as chemical evidence for 6a and 6b is presented. An approximate high-field-NMR analysis of 6a and 6b has been completed. The results are in favour of a fast interconversion of the type $6A \rightleftharpoons 6B$ (Scheme 4), and supported by the MNDO-optimised geometry of 6a. The first X-ray analysis of a cyclononatetraene (i.e. of 5b) has been accomplished: 5b is a polyolefinic molecule with largely alternating bond lengths and with a nine-membered ring deviating strongly from planarity.

1. Einleitung. – Essigsäure-(α-halogenalkyl)ester 1 sind aus aliphatischen und aromatischen Aldehyden sowie Acetyl-chlorid oder Acetyl-bromid bei Katalyse mit *Lewis*-Säuren in einer einfachen Eintopfreaktion zugänglich [5]. Unter optimalen Reaktionsbedingungen lassen sich Nebenprodukte weitgehend vermeiden [6] und oft fast quantitative Ausbeuten erzielen [5]³). Die bifunktionellen Carbonyl-Derivate besitzen zwei Abgangsgruppen unterschiedlicher nucleofuger Eigenschaften und gehen naturgemäss im basischen Milieu keine Nebenreaktionen des Aldol-Typs ein. Wir haben diese Vorteile bei der Entwicklung einer allgemeinen Pentafulven-Synthese ausgenutzt (*Schema 1*) und ge-

Schema 1. Synthese von Pentafulvenen 2 aus Essigsäure-(α -halogenalkyl)estern 1 [5]

^{1) 52.} Mitt. über Fulvene, Fulvalene; 51. Mitt. [1]; Kurzmitt. [2].

Teil der Dissertationen [3] [4].

Prominente Ausnahmen sind Essigsäure-(chlormethyl)ester (1a; R = H, X = Cl) und Essigsäure-(brommethyl)ester (1a; R = H, X = Br), die auch unter optimalen Bedingungen nur mit ca. 75% Ausbeute isoliert werden.

zeigt, dass die Methode der basischen Kondensation von Cyclopentadien mit Carbonyl-Verbindungen [7] vor allem bei aliphatischen und aromatischen Aldehyden überlegen ist [8].

Wir berichten über die Anwendung dieses Verfahrens zur Synthese des Grundkörpers Nonafulven 6a (vgl. Kurzmitteilung [2]), über die NMR-Analyse von 6a und von 10-Phenylnonafulven (6b) und über die erste Röntgenstrukturanalyse eines Cyclononatetraens (5b).

2. Synthese von Nonafulven. – Bei der Übertragung der Pentafulven-Synthese (Schema 1) auf Nonafulvene (Schema 2) lassen sich grosse präparative Schwierigkeiten voraussehen: Einmal muss erwartet werden, dass die Zielverbindungen 5 und 6 wegen der leicht eintretenden Valenzisomerisierungen des Typs $6\pi \rightarrow 4\pi + 2\sigma$ thermisch sehr instabil $\sin d^4$) (vgl. später), was tiefe Reaktionstemperaturen um -30° notwendig macht. Zudem erweist sich CNT⁻³) als deutlich weniger nucleophil als Cyclopentadienid. Ein Ausweichen von CNT⁻ auf das nucleophilere $ext{cct}$ -CNT⁻³) ist oft von Vorteil, kann jedoch zu komplexen Produktgemischen führen [10] [11]. Und schliesslich können bei der Elimination tartage-HOAc Probleme auftreten, einmal wegen der geringeren Azidität von Cyclononatetraenen tartage-verglichen mit Cyclopentadienen [12], und ferner wegen der sterischen Abschirmung des abzuspaltenden Methin-Protons von tartage-

Bereits erste Vorversuche zeigten, dass Essigsäure-(chlormethyl)ester ($\mathbf{1a}$; R = H, X = Cl) mit einem ca. (2:1)-Gemisch von $\mathbf{4}$ (M = Li) und $\mathbf{3}$ (M = Li) bei -30° nur sehr langsam reagiert. Höhere Reaktionsgeschwindigkeiten werden beim Umsatz von CNT-mit dem elektrophileren Essigsäure-(brommethyl)ester ($\mathbf{1a}$; R = H, X = Br) beobachtet. Am leichtesten reagiert ccct-CNT- mit $\mathbf{1a}$ (R = H, X = Br), und die Ausbeuten an Essigsäure-[(2,4,6,8-cyclononatetraenyl)methyl]ester ($\mathbf{5a}$) liegen bei 80-85%: Offensichtlich reagiert $\mathbf{4}$ (M = Na) mit dem sterisch leicht zugänglichen Elektrophil $\mathbf{1a}$ (R = H, X = Br) bevorzugt mit C(1), denn die NMR-Spektren von rohem $\mathbf{5a}$ zeigen nur wenige

⁴) τ_{1/2} von Cyclononatetraen: 16 min bei 35° [9].

⁵⁾ Im folgenden wird all-cis-Cyclononatetraenid als CNT⁻, all-cis-Cyclononatetraen als CNT und cis,cis,cis,trans-Cyclononatetraenid als ccct-CNT⁻ abgekürzt.

Prozente von Nebenprodukten des Typs 7 an. Die Struktur des thermisch instabilen Cyclononatetraens 5a geht aus den spektroskopischen Daten hervor⁶).

Wie wir früher beobachtet haben [13], führt die Übertragung der Sequenz auf Essigsäure-(α -brombenzyl)ester (1b; $R = C_6H_5$, X = Br) mit recht hohen Ausbeuten von rund

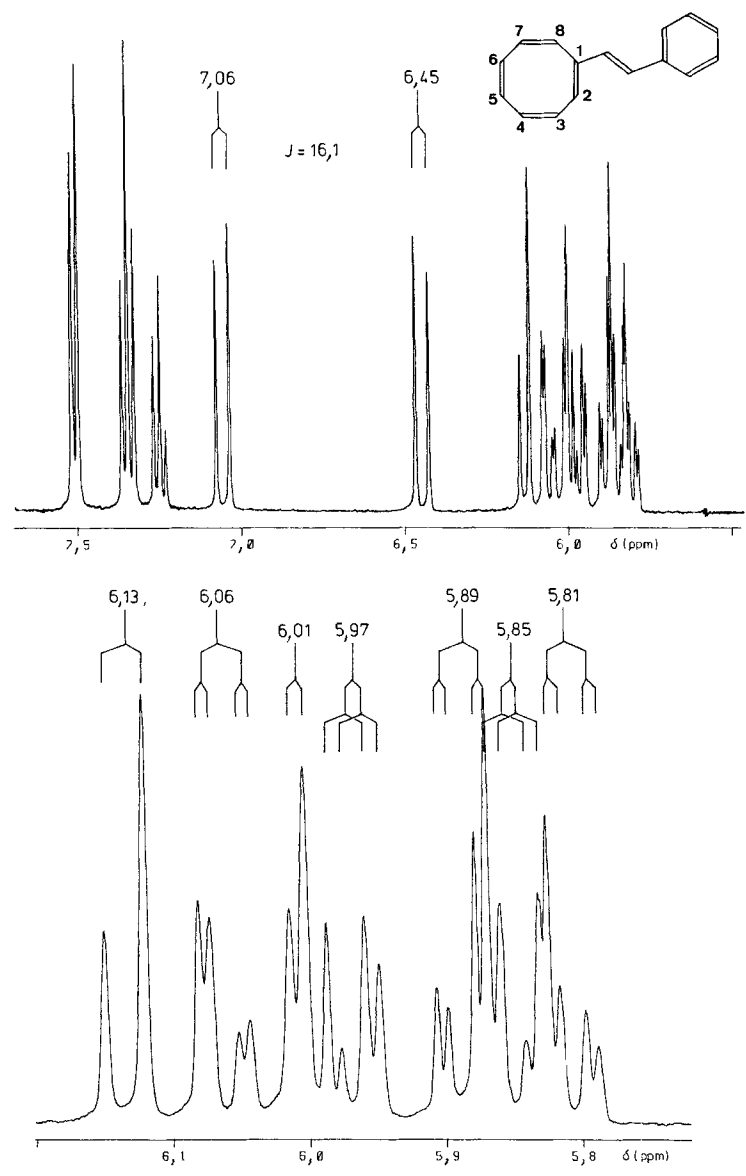


Fig. 1. ¹H-NMR-Spektrum von 8 (400 MHz, (D₆)Aceton, -20°). Gedehnte Bereiche der Aromaten- und Vinylprotonen.

⁶⁾ Abbildungen der ¹H-NMR- und IR-Spektren von 5a sowie weitere spektroskopische Angaben, vgl. [2].

60% und hoher Stereoselektivität zum Essigsäure-[(bicyclo[6.1.0]nona-2,4,6-trien-9-'anti'-yl)(phenyl)methyl]ester (7): Dieser Befund lässt sich nach Boche durch einen Angriff des Elektrophils an C(4) bis C(7) von ccct-CNT⁻, conrotatorische $(4\pi \rightarrow 2\pi + 2\sigma)$ -Cyclisierung und Cope-Umlagerung erklären [10]. Das Ergebnis lehrt, dass das Produktverhältnis der Umsetzung von ccct-CNT⁻ mit Essigsäure-(α -halogenalkyl)estern 1 sehr wesentlich von der Struktur des Elektrophils abhängig ist: Es scheint, dass 4 bei S_n 2-ähnlichen Reaktionen mit sterisch gut zugänglichen Elektrophilen (z. B. 1a) bevorzugt mit C(1) reagiert, während mit sterisch abgeschirmten Elektrophilen zunehmend C(4) bis C(7) reagieren (vgl. auch [10]). Zur Synthese von 5b ist demnach ccct-CNT⁻ ungeeignet, während sich CNT⁻ mit 1b ($R = C_6H_5$, R = R1) bei $R = C_0$ 20° mit 61% Ausbeute zu 5b umsetzt [10].

Zur Elimination von HOAc aus $5(\rightarrow 6)$ sind wegen der vergleichsweise geringen Azidität von Cyclononatetraenen 5 stärkere Basen notwendig als bei der Synthese von Pentafulvenen 2 (Schema 1). Als besonders geeignet erweist sich K(t-BuO), wobei die Ausbeute an Nonafulven 6a nach 3 h Umsatz bei -25° in THF (44%) deutlich höher liegt als in Et₂O (25%). Nach Tieftemperatur-Chromatographie und Tieftemperatur-Kristallisation (-78°) wird 6a als farblose Kristalle isoliert. Wie früher beschrieben [14], führt die analoge Umsetzung von 5b mit K(t-BuO)/THF bei -20° mit 24% Ausbeute zu blassgelben Kristallen von 10-Phenylnonafulven (6b). Wegen der einleitend erwähnten präparativen Schwierigkeiten blieb das Verfahren bisher auf die Synthese von 6a und 6b beschränkt.

Auch bei der Umsetzung des Bicyclus 7 mit K(t-BuO)/THF wird HOAc eliminiert und mit überraschend hoher Ausbeute (66%) (β -Styryl)cyclooctatetraen (8) gebildet⁷). Die Struktur von 8 folgt aus den analytischen und spektroskopischen Daten [3]. Besonders instruktiv ist das 400-MHz-¹H-NMR-Spektrum, das ausschliesslich Signale im Vinyl- und Aromatenbereich enthält (Fig. 1).

Im 1 H-NMR-Spektrum von **8** beweist das AX-System bei 7,06 und 6,45 ppm mit J=16,1 Hz das Vorliegen einer (E)-konfigurierten Doppelbindung⁸). Die 7 Protonen der Cyclooctatetraen-Einheit bilden komplexe m zwischen 5,8 und 6,15 ppm. Die näherungsweise Analyse des 7-Spin-Systems wird dadurch erleichtert, dass nur vicinale 3J -Kopplungskonstanten zu sichtbaren Aufspaltungen führen, während 4J und 5J entweder relativ klein sind, oder aber durch dynamische Effekte verwischt werden. Schlüssel für die Zuordnung ist das d eines AB-Systems bei 6,13 ppm, das aufgrund der grossen cis-olefinischen Kopplungskonstante von 11,6 Hz zu H-C(8) gehört. Der 'Abdachungseffekt' zeigt, dass H-C(7) sehr nahe bei 6,06 ppm liegt. Die zusätzliche Aufspaltung von ca. 3,3 Hz ermöglicht die Zuordnung von H-C(6) zum dd bei 5,89 ppm. Andererseits lassen sich auch H-C(2) (d bei 6,01 ppm) und H-C(3) (dd bei 5,97 ppm) als AB-Teil eines ABX-Systems lokalisieren. Die deutliche Alternanz der näherungsweise ermittelten vicinalen Kopplungskonstanten spricht für ein nicht ebenes cyclisches Polyolefin mit alternierenden Bindungslängen und Diederwinkeln und stützt die Struktur eines Cyclooctatetraens.

3. Chemischer Strukturbeweis von Nonafulven (6a). – Essigsäure-[(cyclononatetraenyl)methyl]ester (5a) sowie Nonafulven (6a) sind sehr reaktive Verbindungen, die bei Raumtemperatur mit nahezu quantitativer Ausbeute die erwartete disrotatorische Valenzisomerisierung zu Essigsäure-[(cis-3a,7a-dihydro-1*H*-inden-1-yl)methyl]ester (9) bzw. Dihydrobenzofulven 11 eingehen. Bei +10° und in CDCl₃ beträgt die Halbwertszeit

Dies weist darauf hin, dass bei der Behandlung von 7 mit starken Basen ein Proton des Brückenkopfs von 7 abgespalten und anschliessend der Dreiring unter gleichzeitigem Austritt der AcO-Gruppe geöffnet wird.

⁸⁾ Überraschenderweise lassen sich die Protonen der Ethylen-Brücke' ohne Zusatzexperiment nicht eindeutig zuordnen, obwohl man intuitiv das α-Proton des Styryl-Rests wegen des Ringstrom-Effekts des Aromaten bei tieferm Feld (7,06 ppm) erwarten würde.

$$Schema 3^{9})$$

$$Schema 3^{9})$$

$$Schema 3^{9})$$

$$O_{2}$$

$$S5\%$$

$$O_{2}$$

$$S5\%$$

$$O_{3}$$

$$O_{4}$$

$$O_{4}$$

$$O_{2}$$

$$O_{5}$$

$$O_{6}$$

$$O_{1}$$

$$O_{2}$$

$$O_{2}$$

$$O_{3}$$

$$O_{4}$$

$$O_{2}$$

$$O_{3}$$

$$O_{4}$$

$$O_{2}$$

$$O_{3}$$

$$O_{4}$$

$$O_{5}$$

$$O_{2}$$

$$O_{2}$$

$$O_{3}$$

$$O_{4}$$

$$O_{5}$$

$$O_{2}$$

$$O_{2}$$

$$O_{3}$$

$$O_{4}$$

$$O_{5}$$

$$O_{2}$$

$$O_{5}$$

$$O_{2}$$

$$O_{2}$$

$$O_{3}$$

$$O_{4}$$

$$O_{5}$$

$$O_{7}$$

$$O_{8}$$

$$O_{8}$$

$$O_{1}$$

$$O_{2}$$

$$O_{3}$$

$$O_{4}$$

$$O_{5}$$

$$O_{7}$$

$$O_{8}$$

der Reaktion $5a \rightarrow 9$ ca. 30 min, diejenige der Umsetzung $6a \rightarrow 11$ nur 12 min. Die Cyclisierungsgeschwindigkeit scheint lösungsmittelabhängig zu sein. So ergibt die UV-Verfolgung der Reaktion $5a \rightarrow 9$ in Hexan eine Halbwertszeit von ca. 140 min, diejenige des Prozesses $6a \rightarrow 11$ einen Wert von ca. 60 min.

Das Dihydroinden 9 lässt sich auf einfache Weise zum Inden 10 dehydrieren, indem eine Lösung von 9 in Et_2O oder CCl_4 unter NMR-Kontrolle während 6 Tagen im Luftkontakt bei RT. gerührt wird. Überraschenderweise führt die analoge Behandlung von 11 hauptsächlich zu Polymeren und nur in Spuren zum bekannten [15] Benzofulven 12. Versuche zur Dehydrierung von 11 mittels Chloranil in Benzol ergeben statt des erwarteten 12 hauptsächlich 3-Methyl-1H-inden. Durch Elimination $10 \rightarrow 12$ mittels K(t-BuO) lässt sich der in *Schema 3* skizzierte Kreis schliessen. Die Verbindungen 9–12 sind aufgrund ihrer spektroskopischen Daten gesichert [4].

Zusammenfassend lässt sich die Struktur von Nonafulven 6a durch Umwandlung der Valenzisomerisierungsprodukte 11 und 9 in Benzofulven 12 belegen. Zusätzlich ergibt die katalytische Hydrierung von 6a mit Pd/C praktisch quantitativ Methylcyclononan.

4. NMR-Analyse von Nonafulven (6a) und 10-Phenylnonafulven (6b). – Die spektroskopischen Strukturbeweise von Nonafulven (6a) sind kurz nach dessen erstmaliger Synthese [2] ausführlich diskutiert worden [16]¹⁰). Sie zeigen, dass Nonafulven ein all-*cis*-konfiguriertes cyclisches Polyolefin ist. Aus der extrem kurzwelligen längstwelligen Absorptionsbande von 6a (λ_{max} 255 nm in Hexan) verglichen mit Pentafulven 2a (λ_{max} 362 nm [17]) und Heptafulven (λ_{max} 423 nm [18]) geht hervor, dass Nonafulven nicht eben sein

⁹⁾ Die Ausbeuten in Klammern sind spektroskopisch bestimmt.

¹⁰ Abbildungen der 60-MHz-, ¹H-NMR-, UV- und Massenspektren, vgl. [2], des ¹³C-NMR-Spektrums, vgl. [16].

kann. Andererseits sind im ¹³C-NMR-Spektrum Paare von Ring-C-Atomen chemisch äquivalent, was (in Übereinstimmung mit *Dreiding*-Modellen) darauf hinweist, dass eine leichte Drehung der exocyclischen Doppelbindung erfolgen kann, durch welche die diastereotopen Ring-Segmente ineinander übergeführt werden (vgl. *Schema 4*).

Diese ersten Aussagen [16] sind durch die vollständige ¹H-NMR-Analyse von 10-(Dimethylamino)nonafulvens [19] sowie durch die NMR-Untersuchung substituierter Nonafulvene [20] bestätigt worden: 10-monosubstituierte Nonafulvene enthalten 2 sterisch

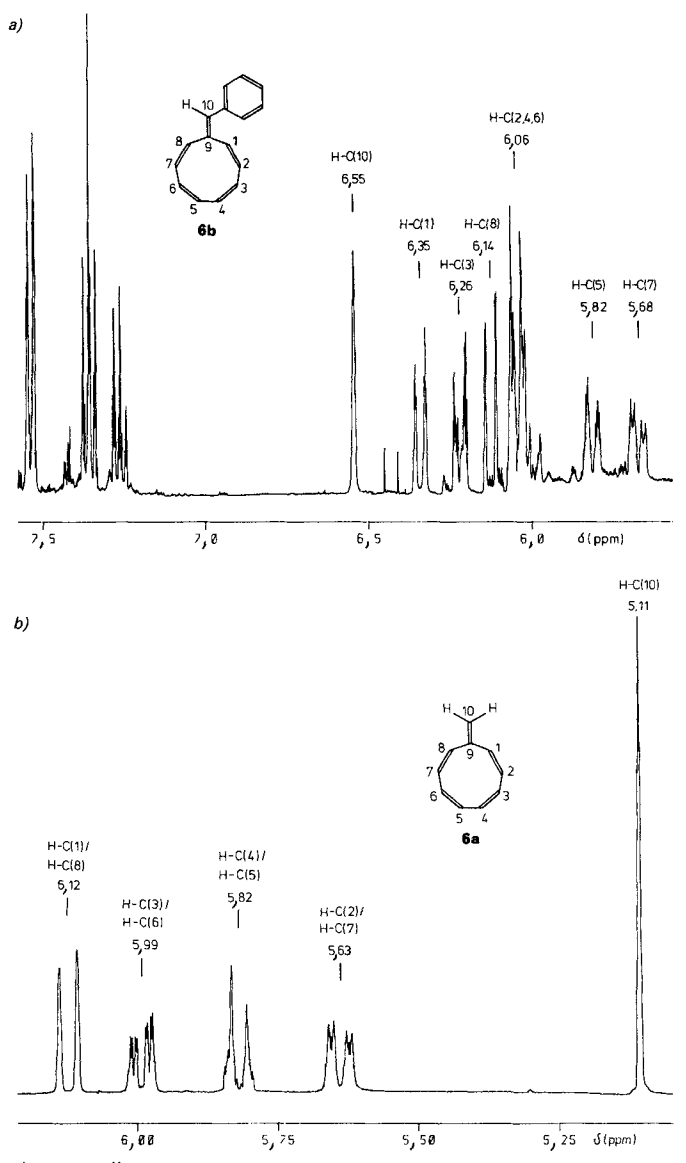


Fig. 2. 400-MHz- † H-NMR- † Übersichtsspektren von a) 10-Phenylnonafulven (**6b**; CD₂Cl₂, -20°) und b) Nonafulven (**6a**; (D₆)Aceton, -20°)

verschiedene Ringsegmente mit einem nahezu ebenen (E)-konfigurierten Dien-System, das aus C(7), C(8), C(9), C(10) und dem Substituenten R besteht. Demnach bewirken exocyclische Donator-Gruppen R eine Hochfeld-Verschiebung, die C(9) > C(7) > C(5) beeinflusst. Das Gleichgewicht $6A \rightleftharpoons 6B$ liegt aus sterischen Gründen (Wechselwirkung zwischen R und H-C(1)) auf der Seite von 6A. Bei symmetrisch substituierten Nonafulvenen existiert ein schneller Wechsel zwischen den Konformeren 6A und 6B, so dass Paare von Ring-H-Atomen und Ring-C-Atomen chemisch äquivalent sind und für C(9) > C(7,2) nur gemittelte Substituenteneffekte beobachtet werden.

Da das ¹H-NMR-Spektrum von Nonafulven (**6a**) aufgrund des raschen Gleichgewichts **6A** \rightleftarrows **6B** extrem komplex und als AA'MM'XX'YY'ZZ'-System zu behandeln ist, versuchten wir zunächst eine ¹H-NMR-Analyse von 10-Phenylnonafulven **6b**: Bei einem Spektrum 1. Ordnung sollte es trotz des Linienreichtums des 9-Spin-Systems **6b** möglich sein, gute erste J/δ -Parametersätze für die nachfolgende Simulation und Iteration zu gewinnen. Die ¹H-NMR-Übersichtsspektren von **6a** und **6b** sind in *Fig.* 2 gegeben.

Im 1 H-NMR-Spektrum von 10-Phenylnonafulven (**6b**; *Fig. 2a*) erzeugt H-C(10) ein breites s bei 6,55 ppm. H-C(1)/H-C(8) werden durch NOE-Experimente unter Bestrahlung von H-C(10) unterschieden. Alle weiteren Zuordnungen folgen aus Entkopplungsexperimenten. Da die drei Protonen H-C(2), H-C(4) und H-C(6) sehr ähnlich liegen und auch in (D₆)Aceton oder durch Zugabe von C₆D₆ nicht getrennt werden, wird eine graphische Analyse aller m nach 1. Ordnung verunmöglicht. Durch Einstrahlung auf H-C(10) gewinnt man unter optimalen Bedingungen ein gut aufgelöstes Spektrum der Ring-Protonen (*Fig. 3b*). Davon lassen sich die Subspektren einiger Protonen z. B. von H-C(7) und H-C(8), näherungsweise nach 1. Ordnung analysieren und einzeln simulieren und iterieren. Andere Protonen wie H-C(5) und H-C(7) liegen wohl gut getrennt, bilden jedoch K-Teile von Spektren höherer Ordnung und werden als 8-Spin-Systeme behandelt. Grosse Schwierigkeiten bieten H-C(2), H-C(4) und H-C(6)¹¹). Die abschliessende Simulation und Iteration ergibt eine befriedigende, jedoch keine vollkommene Übereinstimmung von experimentellem und berechnetem Spektrum¹¹).

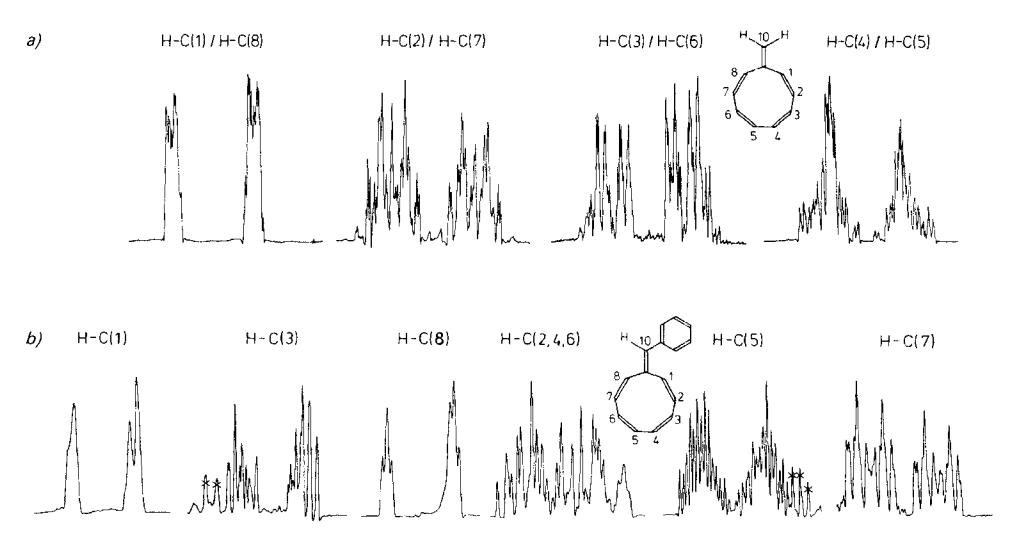


Fig. 3. 400-MHz-¹H-NMR-Spektren von a) **6a** ((D₆)Aceton, -20°) und b) **6b** (CD₂Cl₂, -20°). Gedehnte m der Ring-Protonen bei Entkopplung von H-C(10).

¹¹⁾ Details der NMR-Analyse sowie ein Vergleich von exper. und ber. Teilspektren finden sich im Exper. Teil.

Das 400-MHz- 1 H-NMR-Spektrum von Nonafulven (**6a**) enthält 4 getrennte m sowie ein verbreitertes s bei 5,11 ppm, das H-C(10) entspricht (Fig. 2b). Bei Kenntnis des Aufspaltungsmusters von 10,10-disubstituierten Nonafulvenen [20] ist die Zuordnung der Paare von Ring-Protonen einfach, sie lässt sich durch Einstrahlung auf H-C(10) sowie weitere Entkopplungsexperimente leicht bestätigen. Optimal aufgelöste m gewinnt man durch Entkopplung von H-C(10) ind (D_6)Aceton bei möglichst hoher Temperatur (Fig. 3a). Als Startwerte zur Simulation und Iteration dieses komplizierten AA'MM'XX'YY'-Systems dienten gemittelte Werte der Kopplungskonstanten von $(\mathbf{6b})^2$). Die abschliessende Simulation und Iteration gibt auch bei $(\mathbf{6a})$ eine befriedigende, jedoch keine vollkommene Übereinstimmung von experimentellem und berechnetem Spektrum¹¹).

Die in Tab. l zusammengefassten Werte zeigen die auffallend gute Übereinstimmung der Kopplungskonstanten des Grundkörpers 6a mit den gemittelten Werten entsprechender J-Paare von 6b, aber auch mit den Werten des vollständig analysierten 10-(Dimethylamino)nonafulvens [19]. Dies steht in Übereinstimmung mit dem in $Schema\ 4$ postulierten Gleichgewicht $6A \rightleftarrows 6B$: Bei unsymmetrisch substituierten Nonafulvenen liegt das Gleichgewicht aus sterischen Gründen weit auf der linken Seite. Das vorherrschende Konformere 6A besitzt ein eingeebnetes Dien-Segment R-C(10)-C(9)-C(8)-C(7), eine teilweise aus der Ebene ausgelenkte Bindung C(6)=C(5) sowie zwei weit ausgelenkte Bindungen C(1)=C(2) und $C(3)=C(4)^{13}$). Dies äussert sich in den vicinalen Kopplungskonstanten über formale Einfachbindungen: z. B. ist J(6,7) mit 5,27 bzw. 4,89 Hz deutlich grösser als J(2,3) mit 2,73 bzw. 2,8 Hz.



Tab. 1. Kopplungskonstanten (> 1 Hz) von **6a** (R = H), **6b** ($R = C_6H_5$) und 10-(Dimethylamino)nonafulven (**6c**; $R = NMe_2$) [19]

	6c (R = 1	NMe ₂) ^a)	6b $(R = C_6 H_5)^b)$		$6a (R = H)^b)$
J(1,2)	12,00	} 12,52	12,19	12,64	12,88
J(7,8)	13,05	12,32	13,08	12,04	12,66
J(2,3)	2,73	10	2,80	201	2 00
J(6,7)	5,27	4,0	4,89	3,84	3,80
J(3,4)	11,82	12.05	11,65	11.07	10.16
J(5,6)	12,28	12,05	12,29	11,97	12,16
J(4,5)	3,03	,	3,00	,	2,94
J(1,3)	± 1,63	1.25	$\pm 1,51$	1.25	1.16
J(6,8)	± 0.88	1,25	$\pm 1,00$	1,25	- 1,16
J(2,4)	$\pm 1,62$	1 1 40	± 1,90	1.72	1.76
J(5,7)	$\pm 1,36$	1,49	$\pm 1,56$	1,73	- 1,76
J(3,5)	± 1,20	1	$\pm 1,43$	1	1.05
J(4,6)	$\pm 0,97$	1,08	$\pm 0,97$	1,20	- 1,25
J(2,5)	2,21	1 212	2,30	Í 224	2.15
J(4,7)	2,03	2,12	2,18	2,24	2,15

Weitere kleine Kopplungskonstanten dieses vollständig analysierten Systems [19] [20]: J(1,4) = 0.31, J(1,6) = 0.15, J(1,7) = 0.43, J(1,8) = 0.38, J(1,10) = 1.29, J(2,10) = 0.83, J(3,6) = 0.40, J(4,8) = 0.38, J(5,8) = 0.82, J(6,10) = 0.44, J(7,10) = 0.46 und J(8,10) = 0.84.

¹²⁾ Dies ist nur deshalb statthaft, weil unsere Untersuchungen [20] zeigen, dass elektronische Substituenteneinflüsse auf die Kopplungskonstanten von unpolaren Nonafulvenen klein sind.

Nach MNDO-Berechnungen von Nonafulven (6a) beträgt der Diederwinkel H-C(7)-C(6)-H ca. 58°, dagegen der Diederwinkel H-C(2)-C(3)-H ca. 76° und H-C(4)-C(5)-H ca. 78°. Dementsprechend sind bei Nonafulvenen des Typs 6b J(2,3) und J(4,5) vergleichsweise klein, dagegen ist J(6,7) vergleichsweise gross.

Bei Nonafulven selbst sind **6A** und **6B** identisch und werden rasch ineinander übergeführt. Demnach findet eine Mittelung von NMR-Signallagen und Kopplungskonstanten statt¹⁴): 50 % der Moleküle weisen z. B. einen Diederwinkel H-C(7)-C(6)-H von ca. 60° und J(6,7) von ca. 4,8 Hz auf, 50 % dagegen einen Diederwinkel H-C(7)-C(6)-H von ca. 80° und J(6,7) von ca. 2,8 Hz¹³). Durch rasche Drehung von C(9)=C(10), vgl. *Schema* 4, mittelt sich J(6,7) zu 3,8 Hz.

Vergleicht man die Änderung der vicinalen Kopplungskonstanten beim Wechsel von $R = C_6H_5$ zu $R = NMe_2$ (Tab. 1), so überrascht der geringe Substituenteneinfluss. Einzig für J(6,7) wird eine Zunahme von ca. 0,4 Hz beobachtet. Angesichts der bekannten Diederwinkel-Abhängigkeit von vicinalen Kopplungskonstanten (über formale Einfachbindungen) ergibt sich ein Hinweis darauf, dass die starke Donator-Gruppe eine Verkleinerung des Diederwinkels H-C(7)-C(6)-H und damit eine leichte Einebnung der Doppelbindung C(6)=C(5) bewirkt.

Während sich die 13 C-NMR-Spektren von **6a** und **6c** [20] relativ einfach durch 'off-resonance'-Entkopplung und Messung der reduzierten Kopplungskonstanten zuordnen lassen, bereitet die Zuordnung von **6b** Schwierigkeiten, da alle 10 Vinyl-C-Atome im engen Bereich von ca. 11 ppm absorbieren. Die Zuordnung gelingt schliesslich durch ein 1 H/ 13 C-'shift'-korreliertes 2D-NMR-Spektrum. Die Resultate sind in Tab. 2^{15}) zusammengefasst. Wegen sterisch unterschiedlicher Substituenten lassen die δ -Werte von C(10) keine Aussagen über elektronische Substituenteneffekte zu; ebensowenig kann C(9) von **6a** mit C(9) von **6b** und **6c** verglichen werden.

	C(1) C(8)	C(2) C(7)	C(3) C(6)	C(4) C(5)	C(9)	C(10)
$\frac{1}{6a (R = H)^a}$	130,4	127,2	128,7	126,7	143,5	122,0
6b $(R = C_6H_5)^b)$	$128,8$ $132,4$ } 130,6	130,4 } 127,9	129,4 $127,9$ $128,6$	127,4 $126,7$ $127,0$	136,0	134,5
$6c (R = NMe_2)^c)$	127.8 131.9 129.8	127,7 $115,1$ $121,4$	$129,2 \\ 128,6$ 128,9	127,7 124,1 } 125,9	108,3	146,7

Tab. 2. 13C-NMR-Signallagen von 6a, 6b und 6c

Die Ergebnisse von 6a und 6b bestätigen die früher [20] gezogenen Schlüsse; sie sind mit einem Gleichgewicht des Typs 6A ≈ 6B in Übereinstimmung, das bei 6b und 6c auf der linken Seite liegt. Dementsprechend lassen sich Substituenteneffekte auf die beiden sterisch unterschiedlichen Ring-Segmente vor allem beim Vergleich von 6b und 6c erkennen: Wie erwartet [20] bewirkt die Me₂N-Gruppe als Elektronendonator eine Hochfeld-Verschiebung im eingeebneten Segment, die in der Reihe C(9) > C(7) von 27,7 auf 10,4

¹⁴) Bisher ist es nicht gelungen, das Gleichgewicht 6A ≈ 6B im Falle von 6a einzufrieren. NMR-spektroskopisch konnte bis −90° keine Koaleszenz beobachtet werden.

¹⁵⁾ Die ¹³C-NMR-Signal-Lagen unpolarer Nonafulvene sind weitgehend von der Lösungsmittelpolarität und Temperatur unabhängig [21] [22]. Dies im krassen Unterschied zu polaren Nonafulvenen wie 10,10-Bis(dimethylamino)nonafulven [23] [20].

ppm abfällt und möglicherweise auch noch bei C(5) (2,6 ppm) schwach sichtbar wird. Alle andern Ring-C-Atome werden praktisch nicht beeinflusst.

Vergleicht man die Mittelwerte von Paaren von Ring-C-Atomen von 6b und 6c mit den Signal-Lagen von Nonafulven (6a), so sind die praktisch identischen Werte von 6a und 6b auffallend, während beim Übergang zu 6c eine (aufgrund der Mittelung) abgeschwächte Hochfeld-Verschiebung von C(2)/C(7) zu beobachten ist. Auch diese Ergebnisse sind somit mit dem früher postulierten Gleichgewicht 6A ≠6B in Übereinstimmung.

In dieselbe Richtung weisen Geometrie-Optimierungen von Nonafulven (**6a**) nach MNDO [24]. Wie *Fig. 4* zeigt, resultiert ein nicht planares Molekül mit eingeebnetem Dien-Segment C(10)-C(9)-C(8)-C(7), bereits ausgelenkter Bindung C(6)=C(5) sowie stark aus der Ebene aufgelenkten Bindungen C(4)=C(3) und $C(2)=C(1)^{13}$).

5. Röntgenstrukturanalyse von Essigsäure-[(2,4,6,8-cyclononatetraenyl)(phenyl)-methyl]ester (5b). – Zur Gewinnung gesicherter Daten über die bevorzugte Konformation von Cyclononatetraenen 5 und Nonafulvenen 6 bietet sich die Röntgenstrukturanalyse an. Leider liessen sich durch vorsichtige Tieftemperatur-Kristallisation von 10-

Tab. 3. Kristalldaten von 5b

Formel	$C_{18}H_{18}O_2$	$\mu\left(\mathrm{Mo}K_{\tilde{lpha}} ight)$	$0,723 \text{ cm}^{-1}$
Formelgewicht	266,34	Raumgruppe	$P2_1/c$, monoklin
Dichte (ber.)	1,21 g⋅cm ⁻¹	Gitterkonstanten	a = 9,90(2) Å
Schmp.	41,5–43°		b = 13,33(2) Å
Zellvolumen	1456,5 Å ³		c = 11,95(3) Å
Z^{a})	4		$\beta = 112,6(1)^{\circ}$

Formeleinheiten pro Elementarzelle.

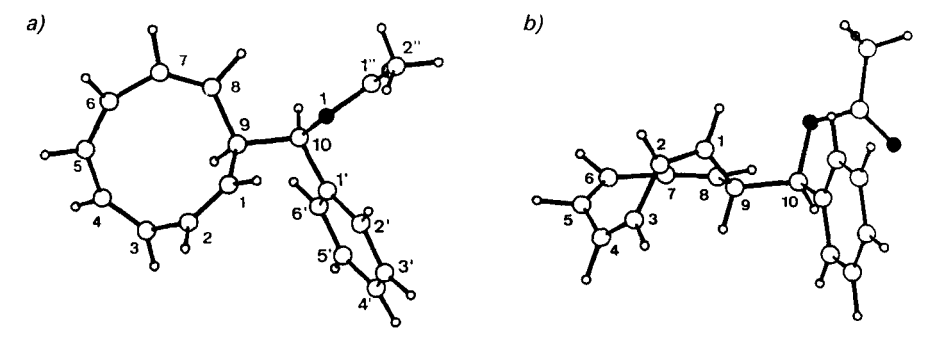


Fig. 5. a) Aufsicht und b) Seitenansicht der Molekel 5b

Phenylnonafulven (6b) bisher keine geeigneten Kristalle züchten. Dagegen gelang es, durch langsames Abkühlen (48 h) einer Lösung von 5b in Pentan/Et₂O 10:1 von -15 auf -80° farblose Kristalle von 5b mit zu züchten. Die Kristalldaten von 5b sind in Tab.3 und eine Auf- und Seitenansicht der Molekel in Fig.5 gegeben.

Zur Messung wurde ein Kristall der Dimension ca. $0.4 \times 0.2 \times 0.2$ mm verwendet. Die Bestimmung der Gitterparameter und die Intensitätmessung der Reflexe wurde mit einem *Nonius-CAD-4-* Diffraktometer mit monochromatisierter MoK_{α} -Strahlung durchgeführt. Neunzehn Reflexe, die mit dem *Nonius-Peakversuchverfahren* im Bereich $9^{\circ} < 2\theta < 19^{\circ}$ bestimmt worden waren, wurden sorgfältig zentriert. Die Zellparameter wurden nach der Methode der kleinsten Fehlerquadrate berechnet. Alle unabhängigen Reflexe im Bereich $2^{\circ} < 2\theta < 56^{\circ}$ wurden bei $-122 \pm 4^{\circ}$ mit dem $(\omega - 2\theta)$ -'scan'-Verfahren gemessen. Nach je 200 gemessenen Reflexen wurde die Orientierung des Kristalls kontrolliert, und alle 3,3 h wurde die Intensität des 123-Reflexes überprüft. Während der Messung wurde keine signifikante Abweichung beobachtet. Es ist jedoch zu beachten, dass die Kristalle bei RT. innerhalb von 2 h zerfallen. Die beobachteten Auslöschungen h0l:l=2n+1, 0k0:k=2n+1 definieren die Raumgruppe $P2_1/c$. Insgesamt wurden 3725 Reflexe gemessen. Nach der Mittelung von äquivalenten Reflexen verblieben 3311 unabhängige Reflexe, wovon 902 mit $I < 2.58 \sigma(I)$ als nicht-beobachtet vermerkt wurden. Die Intensitäten erhielten *Lorentz*- und Polarisationskorrektur, jedoch wurde keine Absorptionskorrektur angebracht.

Die Kristallstruktur konnte mit direkter Phasenbestimmung nach dem symbolischen Additionsverfahren gelöst werden. In der ersten E-Fourier-Synthese konnten alle Atome ausser den H-Atomen sicher erkannt werden. Die H-Atome liessen sich mittels einer Differenz-Fourier-Synthese festlegen. Die Struktur wurde nach der Methode der kleinsten Fehlerquadrate unter Verwendung der blockdiagonalen Normalgleichungen verfeinert. Bei den letzten Verfeinerungszyklen wurden die H-Atome mit isotropen Temperaturfaktoren eingeschlossen, während für die C- und O-Atome anisotrope Temperaturfaktoren verwendet wurden. Die Atomformfaktoren wurden [25] entnommen. Für die beobachteten Reflexe betrug der Gütefaktor R = 0.058. Eine abschliessende Differenz-Fourier-Synthese zeigte keine Peaks grösser als $0.3e \cdot \text{Å}^{-3}$. Alle Berechnungen und Zeichnungen wurden mit dem Programm-System KRIPROG [26] durchgeführt.

Die Koordinaten der C-, O- und H-Atome, Bindungslängen, Bindungswinkel und Torsionswinkel sind in Tab. 4-8 angegeben.

Atom	х	у	z	β_{11}	β_{22}	β_{33}	$2\beta_{12}$	2β ₁₃	$2\beta_{23}$
O(1)	0,8153(3)	0,0911(2)	0,2832(2)	0,0083(4)	0,0047(2)	0,0055(2)	- 0,0038(4)	0,0076(5)	- 0,0008(3)
O(2)	0,6300(3)	-0.0134(3)	0,2565(3)	0,0117(5)	0,0065(2)	0,0082(3)	-0,0076(5)	0,0079(6)	-0,0002(4)
C(1)	0,9978(4)	0,2056(3)	0,1958(3)	0,0072(5)	0,0037(2)	0,0051(3)	-0.0010(5)	0,0061(6)	-0,0016(4)
C(2)	1,0643(4)	0,2687(3)	0,1480(4)	0,0088(5)	0,0034(2)	0,0057(3)	-0,0008(5)	0,0065(7)	-0.0006(4)
C(3)	1,0742(5)	0,2524(3)	0,0295(4)	0,0097(5)	0,0039(2)	0,0061(3)	0,0000(6)	0,0086(7)	0,0011(5)
C(4)	1,1642(5)	0,1860(3)	0,0094(4)	0,0103(6)	0,0043(3)	0,0061(4)	-0,0014(6)	0,0085(7)	-0,0005(5)
C(5)	1,2760(5)	0,1249(3)	0,1005(4)	0,0087(6)	0,0045(3)	0,0077(4)	0,0001(6)	0,0088(8)	-0.0018(5)
C(6)	1,2714(5)	0,0535(3)	0,1786(4)	0,0076(5)	0,0044(3)	0,0068(4)	0,0016(6)	0,0037(7)	-0,0010(5)
C(7)	1,1568(5)	-0.0012(3)	0,1978(4)	0,0097(6)	0,0040(2)	0,0083(4)	0,0019(6)	0,0093(8)	0,0021(5)
C(8)	1,0185(5)	0,0176(3)	0,1863(4)	0,0105(6)	0,0034(2)	0,0086(4)	0,0004(6)	0,0081(8)	0,0011(5)
C(9)	0,9239(4)	0,1092(3)	0,1368(3)	0,0068(5)	0,0034(2)	0,0053(3)	-0,0007(5)	0,0062(6)	-0.0015(4)
C(10)	0,7799(4)	0,0935(3)	0,1522(3)	0,0076(5)	0,0038(2)	0,0047(3)	-0,0014(5)	0,0052(6)	-0,0009(4)
C(1')	0,6666(4)	0,1730(3)	0,0928(3)	0,0072(5)	0,0040(2)	0,0052(3)	-0,0025(5)	0,0073(6)	-0.0013(4)
C(2')	0,6388(4)	0,2528(3)	0,1559(4)	0,0085(5)	0,0042(2)	0,0068(4)	-0,0026(6)	0,0070(7)	-0,0022(5)
C(3')	0,5328(5)	0,3237(3)	0,0949(4)	0,0106(6)	0,0039(2)	0,0082(4)	-0,0015(6)	0,0109(8)	-0,0015(5)
C(4')	0,4555(5)	0,3158(3)	-0,0281(4)	0,0096(6)	0,0050(3)	0,0083(4)	0,0010(7)	0,0100(8)	0,0010(6)
C(5')	0,4823(5)	0,2364(4)	-0,0927(4)	0,0101(6)	0,0062(3)	0,0068(4)	0,0017(7)	0,0063(8)	-0,0004(6)
C(6')	0,5875(5)	0,1651(3)	- 0,0317(4)	0,0092(6)	0,0054(3)	0,0057(4)	0,0001(6)	0,0064(8)	-0,0022(5)
C(1")	0,7303(4)	0,0350(3)	0,3224(4)	0,0076(5)	0,0037(2)	0,0073(4)	-0,0001(5)	0,0069(7)	0,0013(5)
C(2")	0,7769(5)	0,0409(4)	0,4571(4)	0,0110(6)	0,0064(3)	0,0072(4)	- 0,0015(7)	0,0098(9)	0,0018(6)

Tab. 4. Koordinaten mit Standardabweichungen und anisotrope Temperaturfaktoren der C- und O-Atome von 5b

Tab. 5. Koordination und isotrope Temperaturfaktoren mit Standardabweichungen der H-Atome von 5b

Atom	х	у	Z	В
H(11)	0,999(5)	0,222(3)	0,283(4)	2,07(9)
H(21)	1,115(5)	0,334(4)	0,196(4)	2,4(1)
H(31)	1.000(5)	0,295(4)	-0.039(4)	2,3(1)
H(41)	1,159(5)	0,179(4)	-0.081(4)	2,3(1)
H(51)	1,384(5)	0,142(4)	0,108(4)	2,7(2)
H(61)	1,376(5)	0,030(4)	0,238(5)	3,1(2)
H(71)	1,198(5)	-0.071(4)	0,230(5)	2,9(2)
H(81)	0,966(5)	-0.042(4)	0,215(4)	2,3(1)
H(91)	0,905(5)	0,115(3)	0,043(4)	2,10(7)
H(101)	0,741(5)	0,024(3)	0,108(4)	1,96(7)
H(2'1)	0,695(5)	0,258(4)	0,249(4)	1,81(5)
H(3'1)	0,513(5)	0,380(4)	0,146(4)	3,0(2)
H(4'1)	0,375(5)	0,365(4)	-0.073(5)	3,4(3)
H(5'1)	0,424(5)	0,232(4)	-0.188(4)	2,4(2)
H(6'1)	0,609(5)	0,106(4)	- 0,079(4)	2,7(2)
H(2"3)	0,695(6)	0,036(4)	0,485(5)	4,3(4)
H(2"1)	0,831(6)	0,098(4)	0,493(5)	5,6(6)
H(2"2)	0,844(6)	- 0,015(5)	0,500(5)	5,8(6)
	Tab. 6. Bindungsläng	gen (Å) mit Standara	dabweichungen von 5b	
C(1)-C(9)	1,514 (5)		C(1)-H(11)	1,055 (44)
C(2)-C(1)	1,325 (5)		C(2)-H(21)	1,057 (47)
C(3)-C(2)	1,473 (5)		C(3)-H(31)	1,043 (45)
C(4)-C(3)	1,342 (5)		C(4)-H(41)	1,064 (46)
C(5)-C(4)	1,465 (6)		C(5)-H(51)	1,061 (32)
C(6)-C(5)	1,347 (6)		C(6)-H(61)	1,056 (42)
C(7)-C(6)	1,440 (5)		C(7)-H(71)	1,027 (49)
C(8)-C(7)	1,347 (4)		C(8)-H(81)	1,072 (43)
C(8)-C(9)	1,514 (5)		C(9)-H(91)	1,069 (45)
C(9)C(10)	1,521 (4)		C(10)-H(101)	1,061 (46)
C(10)-C(1')	1,508 (5)		C(2')-H(2'1)	1,041 (45)
C(1')-C(2')	1,391 (5)		C(3')-H(3'1)	1,036 (48)
C(2')-C(3')	1,392 (6)		C(4')-H(4'1)	1,010 (47)
C(3')-C(4')	1,375 (6)		C(5')-H(5'1)	1,065 (48)
C(4')-C(5')	1,395 (6)		C(6')-H(6'1)	1,034 (47)
C(5')-C(6')	1,391 (6)		C(2''1)-H(2''1)	0,938 (56)
C(1')-C(6')	1,394 (6)		C(2")-H(2"2)	0,996 (56)
C(10)-O(1)	1,467 (5)		C(2")-H(2"3)	1,010 (38)
O(1)-C(1")	1,339 (4)			
C(1'') - O(2)	1,192 (5)			
C(1")-C(2")	1,497 (6)			
	Tab.7. Bindungswink	cel (in °) mit Standar	dabweichungen von 5b	
C(1")-O(1)-C(10)	117,5 (4)		C(1)-C(9)-C(8)	112,8 (3)
C(2)-C(1)-C(9)	124,7 (2)		C(1)-C(9)-C(10)	111,6 (3)
C(1)-C(2)-C(3)	123,3 (5)		C(8)-C(9)-C(10)	108,0 (3)
C(2)-C(3)-C(4)	124,4 (3)		O(1)-C(10)-C(1')	110,3 (3)
C(3)-C(4)-C(5)	126,7 (5)		O(1)-C(10)-C(9)	106,4 (2)
C(4)-C(5)-C(6)	133,6 (5)		C(1')-C(10)-C(9)	114,2 (3)
C(5)-C(6)-C(7)	135,0 (3)		O(2)-C(1'')-O(1)	123,2 (4)
C(6)-C(7)-C(8)	136,3 (4)		O(2)-C(1'')-C(2'')	125,0 (3)

Atomsequenz	Torsionswinkel	Atomsequenz	Torsionswinkel
C(1)-C(9)-C(8)-C(7)	- 52,58	H(91)-C(9)-C(10)-O(1)	- 177,56
C(9)-C(8)-C(7)-C(6)	4,84	H(91)-C(9)-C(8)-H(81)	- 114,24
C(8)-C(7)-C(6)-C(5)	- 32,86	H(91)-C(9)-C(10)-H(101)	62,05
C(7)-C(6)-C(5)-C(4)	8,15	H(11)-C(1)-C(2)-C(3)	177,96
C(6)-C(5)-C(4)-C(3)	62,08	H(21)-C(2)-C(3)-C(4)	103,75
C(5)-C(4)-C(3)-C(2)	- 5,80	H(31)-C(3)-C(4)-C(5)	177,51
C(4)-C(3)-C(2)-C(1)	- 75,11	H(41)-C(4)-C(5)-C(6)	-121,35
C(3)-C(2)-C(1)-C(9)	0,11	H(51)-C(5)-C(6)-C(7)	-173,84
C(2)-C(1)-C(9)-C(8)	99,41	H(61)-C(6)-C(7)-C(8)	149,42
C(1)-C(9)-C(10)-C(1')	62,65	H(71)-C(7)-C(8)-C(9)	-176,86
C(8)-C(9)-C(10)-C(1')	-172,76	H(81)-C(8)-C(9)-C(1)	128,46
C(8)-C(9)-C(10)-O(1)	65,41	H(91)-C(9)-C(1)-C(2)	-18,26
C(9)-C(10)-O(1)-C(1'')	- 149,63	H(11)-C(1)-C(9)-C(10)	43,44
C(10)-O(1)-C(1'')-C(2'')	- 178,97	H(21)-C(2)-C(1)-C(9)	-178,72
H(11)-C(1)-C(9)-H(91)	163,87	H(31)-C(3)-C(2)-C(1)	101,86
H(21)-C(2)-C(1)-H(11)	-0,87	H(41)-C(4)-C(3)-C(2)	177,70
H(31)-C(3)-C(2)-H(21)	- 79,28	H(51)-C(5)-C(4)-C(3)	- 115,94
H(41)-C(4)-C(3)-H(31)	1,01	H(61)-C(6)-C(5)-C(4)	- 174,15
H(51)-C(5)-C(4)-H(41)	60,62	H(71)-C(7)-C(6)-C(5)	148,72
H(61)-C(6)-C(5)-H(51)	3,86	H(81)-C(8)-C(7)-C(6)	-176,21
H(71)-C(7)-C(6)-H(61)	- 28,99	H(91)-C(9)-C(10)-O(1)	- 177,56
H(81)-C(8)-C(7)-H(71)	2,09		

Tab. 8. Torrsionswinkel (Diederwinkel; in °) nach IUPAC von 5b

Diskussion. Diese erste Röntgenstrukturanalyse eines Cyclononatetraens zeigt, dass 5b ein Polyolefin mit deutlich alternierenden Bindungslängen ist. Die formalen Einfachbindungen entsprechenden Bindungslängen sind deutlich länger als bei offenkettigen konjugierten Polyenen. Am kürzesten ist die Bindung C(7)-C(6) mit 1,440 Å, was darauf schliessen lässt, dass die konjugative Wechselwirkung der Bindungen C(5)=C(6) und C(7)=C(8) am grössten ist. Aufgrund der Diederwinkel wird deutlich, dass die Doppelbindungen des Cyclononatetraen-Rings, und insbesondere C(1)=C(2) und C(3)=C(4), stark aus der Ebene ausgelenkt sind. H-C(9) und OAc stehen annähernd trans-diaxial, wobei der Phenyl-Ring (vermutlich wegen geringerer sterischer Wechselwirkungen) auf der Seite der Doppelbindung C(1)=C(2) liegt¹⁶). Auch im Molekül 5b ist das Segment C(7)-C(8)-C(9)-C(10) bereits recht stark eingeebnet¹⁶). Betrachtet man die H-C-C-H-Diederwinkel von formalen Einfachbindungen - die bekanntlich die vicinalen ³ J(H,H)-Kopplungen im ¹H-NMR-Spektrum beeinflussen (vgl. früher), so ist auch im Molekül 5b der Diederwinkel H-C(6)-C(7)-H mit rund 30° wesentlich kleiner als $H-C(4)-C(5)-H(61^\circ)$ oder $H-C(2)-C(3)-H(79^\circ)$, was sich gut mit den, allerdings für das Nonafulven 6b, festgestellten NMR-Ergebnissen deckt. Vergleicht man schliesslich die Röntgenstrukturdaten von 5b mit MNDO-Rechnungen von 6b13) (Fig. 4), so gewinnt man den Eindruck, dass MNDO-Rechnungen die Konformation von 6a richtig voraussagen, dass jedoch 5b im Kristall etwas stärker eingeebnet vorliegt als dies MNDO-Rechnungen anzeigen.

Wenn man im Gedankenexperiment eine trans-Eliminierung von HOAc vornimmt und die dadurch bedingten Änderungen der Geometrie berücksichtigt (in Fig. 5b wird die C(9)—C(10)-Bindung nach unten gedrückt und die Substituenten der neuen Doppelbindung C(9)=C(10) werden eingeebnet), so erhält man die aufgrund von NMR-Daten für 6b geforderte begünstigte Konformation 6A (vgl. Schema 4)!

Die Autoren danken dem Schweizerischen Nationalfonds zur Förderung der wissenschaftlichen Forschung (Projekt Nr. 2.234-0.84) für die Unterstützung der Arbeit sowie der Badischen Anilin- und Sodafabrik für die Spende von Cyclooctatetraen. J. F. dankt ferner dem Stipendienfonds der Basler Chemischen Industrie für ein Stipendium.

Experimenteller Teil

- 1. Allgemeines. Alle Reaktionen wurden mit abs. Reagenzien in abs. Lsgm. unter N₂ oder Ar durchgeführt. PE = Petrolether. Ausführliche Angaben über die verwendete Tieftemperatur-Technik: [27]. Spezielle Arbeitsverfahren zur Synthese von Cyclononatetraenen und Nonafulvenen: [11] [14]. UV: Perkin-Elmer 554 und Varian Techtron 635 M. IR: Perkin-Elmer 399 B und 457. NMR: Bruker AM-400, WH-300, WP-80; Varian XL-100, EM-360L. MS: Varian-Mat CH5-DF.
- 2. Synthese der Cyclononatetraenide 3 und 4¹⁷). Leicht modifizierte und optimierte Vorschriften nach [12] und [28], die in [11] ausführlich beschrieben sind.

Isomerisierung von Natrium-(cis,cis,cis,trans-2,4,6,8-cyclononatetraenid) (Na-ccct-CNT; 4 (M = Na)) zu Na-CNT 3 (M = Na)⁵). In 150-170 ml 0,3-0,5M 4 (M = Na) in THF unter N₂ wird eine H₂O-gekühlte 125-W-Hg-Hochdrucklampe des Typs Hanau 125 getaucht. Unter Rühren (Magnetrührer) und Kühlen (H₂O) wird 12-18 h bestrahlt (NMR-Kontrolle). Die Isomerisierung verläuft weitgehend verlustfrei, und nach 14 h wird ein Isomerenverhältnis 3/4 (M = Na) von 91:9 erreicht. ¹H-NMR (60 MHz, THF, 37°): 6,95 (s, H-C(1) bis H-C(9); 3); 7,2 ('dd', H-C(2)/H-C(9); 4); 6,7 (br. s, H-C(3) bis H-C(8); 4); -3,5 (t, J=15, H-C(1); 4).

- 3. Synthese von Nonafulven¹⁷). 3.1. Essigsäure-(brommethyl)ester (1a; R = H, X = Br). S. [8].
- 3.2. Essigsäure-[(2,4,6,8-cyclononatetraenyl)methyl]ester (5a). Zu der auf -45° gekühlten Lsg. von 3,4 g (22 mmol) 1a (R = H, X = Br) in 6 ml THF unter N₂ werden innert 2 h 57 ml auf -25° gekühltes 0,45 m 4 (M = Na; 26 mmol) getropft. Nach 2 h Rühren bei -20° wird bei -20° /0,1 Torr auf 10-20 ml eingeengt, bei -30° auf eine doppelwandige gekühlte Chromatographiesäule (ca. 60 g Alox (bas., Akt. I), darüber 30 g Seesand, Pentan/Et₂O 1:1) aufgetragen und bei -30° mit ca. 250 ml Pentan/Et₂O 'filtriert'¹⁸). Das goldgelbe Eluat wird bei -20° /0,1 Torr eingeengt und das erhaltene gelbe Öl bei -25° über 70 g desaktiviertes Silicagel¹⁹) chromatographiert. Nach Elution mit 200 ml Pentan wird mit 150 ml Pentan/Et₂O 35:1 CNT (R_f 0,55, Pentan) abgetrennt. Danach wird mit 200 ml Pentan/Et₂O 25:1 bei -25° eluiert und die blassgelbe Fraktion (R_f (5a) 0,1, Pentan) bei -78° aufgefangen: 2,85 g (84%) 5a, gelbes Öl (bei ungenügender Reinheit von 5a (1 H-NMR), Wiederholung der Chromatographie über desaktiviertes Silicagel bei -30°). UV (Hexan, -25°): 248 (2400). 1 H-NMR (80 MHz, CDCl₃, -30°): 5,79 (m, 6 H); 5,47 (' 1 dd', 2 H); 4,4 (1 m, 1 H); 4,05 (1 m, 2 H); 2,10 (1 m, 3 H). HR-MS: 190,0997 (1 m₁₂H₁₄O₂, 1 m⁻¹, ber. 190,0994)²⁰).
- 3.3. Nonafulven (= 9-Methyliden-1,3,5,7-cyclononatetraen; 6a)¹⁷). Zu 1,09 g (9,7 mmol) sublimiertem K(t-BuO) in 10 ml THF unter N₂ bei -65° wird innert 5 min unter Rühren eine auf -30° gekühlte Lsg. von 1,14 g (6 mmol) 5a in 6 ml THF getropft. Das braune Gemisch wird innert 2 h von -65 auf -25° erwärmt, 2 h bei -25° gerührt und zusammen mit 30 ml auf -78° vorgekühltem Pentan bei -20° 5 min mit 6000 U/min zentrifugiert. Die Lsg. wird abdekantiert, der Bodensatz mit 2 × 15 ml Pentan (-78°) extrahiert, und die vereinigte Lsg. bei -40°/0,1 Torr eingeengt. Das braune Öl in 2 ml Pentan wird bei -30° über 50 g desaktiviertes Silicagel¹⁹) chromatographiert (6a als farblose Zone (R_f 0,37, Pentan) gelbe bis rötlichbraune Verunreinigungen am Säulenanfang (R_f (5a) 0,05)). Nach Elution mit 150 ml Pentan, dann mit Pentan/Et₂O 35:1 bis der campher-ähnliche Geruch von 6a feststellbar ist (DC: UV-positiv), wird das Eluat (250-300 ml) bei -78° unter N₂ aufgefangen und bei 35°/0,1 Torr einge-

¹⁷⁾ Alle Reaktionen werden unter völligem O₂- und H₂O-Ausschluss in abs. Lsgm. durchgeführt. Bei der Synthese von Cyclononatetraenen 5 und Nonafulvenen 6 sind Reaktions- und Aufarbeitungstemp. strikt einzuhalten, da sonst die Valenzisomerisierung 5→9 bzw. 6→11 eintreten kann.

¹⁸⁾ Rasche Elution (Filtration von Salzen und Polymeren).

Nach 1 h Trocknen von 300 g Silicagel (Merck Nr. 7734) bei 170°/0,1 Torr wird unter N₂ auf RT. abgekühlt, mit 300-400 ml 5% EtMe₂N-Lsg. in Pentan aufgeschlämmt, das Gemisch 30 min i.RV. ohne Vakuum rotiert und dann bei 25°/5 Torr eingedampft. Lsgm.-Reste und überschüssiges EtMe₂N werden bei 130°/0,1 Torr abgetrennt. Das abgekühlte desaktivierte Silicagel wird unter Ar aufbewahrt.

²⁰) Weitere spektroskopische Daten sowie Abbildungen der Spektren: [4].

dampft: 340 mg (44%) 6a, farblose Kristalle, deren Reinheit für NMR-spektroskopische Messungen genügt. Schmp. (Umkristallisation²¹) aus Pentan) -21° bis -19° . UV (Hexan, -25°): 255 (13800). ¹H-NMR: Fig. 2 und 3. ¹³C-NMR: Tab. 2. HR-MS: 130,0782 ($C_{10}H_{10}$, M^{++} , ber. 130,0782)²⁰) ²²).

- **4.** Chemischer Strukturbeweis von 5a und 6a. 4.1. Essigsäure-[(cis-3a,7a-dihydro-1H-inden-1-yl)methyl]ester (9). Unter N₂ werden 2 ml 1,2м 5a (2,4 mmol) in Et₂O 3 h bei RT. stehen gelassen (gelb → blassgelb). Einengen bei 0°/5 Torr ergab 456 mg (100%) hellgelbes Öl. Bei der Chromatographie an 20 g Silicagel (Merck Nr. 7734) mit PE/Et₂O 9:1 bei 10° wandert 9 als fast farblose langgestreckte Zone vor einer hellgelben Verunreinigung. Eindampfen des Eluats bei 0°/5 Torr und 2mal Destillieren bei 50°/10⁻⁴ Torr ergibt 342 mg 9 (75% bzgl. 5a) als farbloses Öl. UV (Hexan, 20°): 266 (3520), 259 (sh, 3390), 275 (sh, 3450). ¹H-NMR (60 MHz, CDCl₃, 37°): 6,5–5,4 (m, 6 H); 4,9 (m, 2 H); 3,9–2,6 (2 m, 3 H); 2,03 (s, 3 H). HR-MS: 190,0999 (C₁₂H₁₄O₂, M⁺⁺, ber. 190,0994)²⁰).
- 4.2. Essigsäure-[(1 H-inden-l-yl)methyl]ester (10). Eine Lsg. von 437 mg (2,3 mmol) 9 in 2 ml Et₂O wird 6 Tage an der Luft gerührt. Ca. alle 12 h wird Luft über die Oberfläche der Lsg. geblasen. Nach 24 h wird die Lsg. blassgelb, gegen Ende der Reaktion scheidet sich wenig braunes Harz ab. Einengen bei 0°/5 Torr und Chromatographie an 20 g Silicagel (Merck Nr. 7734) mit PE/Et₂O 9:1 sowie erneutes Einengen ergibt ein gelbes Öl, das bei $35^{\circ}/10^{-4}$ Torr im Kugelrohr destilliert wird: 235 mg (55% bzgl. 9) 10, farbloses Öl. UV (Hexan, 20°): 254 (8090), 281 (sh, 663), 287 (sh, 364). ¹H-NMR (60 MHz, CDCl₃, 37°): 7,6–7,0 (m, 4 H); 6,87 (dd, J = 5,6, 1,9, 1 H); 4,18 (m, 2 H); 3,72 (m, 1 H); 2,08 (s, 3 H)²⁰). Alle Daten stimmen mit unabhängig hergestelltem 10 [29] überein.
 - 4.3. 1,2-Benzofulven (= 1-Methyliden-1 H-inden; 12) aus 10. S. [29], 83% Ausbeute bzgl. 10.
- 4.4. cis-3a,7a-Dihydro-1-methyliden-1 H-inden (11). Eine Lsg. von 200 mg (1,54 mmol) 6a in 2 ml PE wird 3 h bei RT. unter N₂ stehen gelassen. Die farblose Lsg. wird bei 10° an 20 g Silicagel (Merck Nr. 7734) mit PE/Et₂O 9:1 chromatographiert. Einengen bei $-78^{\circ}/10^{-4}$ Torr und Destillation bei -20 bis $-15^{\circ}/10^{-4}$ Torr ergibt 160 mg (80%) 11, farbloses Öl, das unter N₂ bei -60° aufbewahrt wird. UV (Hexan, 20°): 229 (26900), ca. 260 (sh, 8000). 1 H-NMR (60 MHz, CDCl₃, 37°): 6,33 (dm, J = 5,5, 1 H); 6,05 (dm, J = 5,5, 1 H); 5,66 (m, 4 H); 5,02 (br. s, 1 H); 4,78 (br. s, 1 H); 3,71 (m, 2 H). 13 C-NMR (25 MHz, CDCl₃, 20°): 159,1 (s); 140,8 (d); 133,4 (d); 128,5 (d); 125,8 (d); 120,9 (d); 120,5 (d); 103,8 (t); 44,7 (d); 40,4 (d). HR-MS: 130,0778 (C₁₀H₁₀, M^{+*}, ber. 130,0782)²⁰).
- 4.5. 12 aus 11. Die analog Exper. 4.2 durchgeführte Oxidation von 11 mit Luft-O₂ ergibt nur in Spuren 12 (NMR). Zur Hauptsache entstehen Polymere, die aus der Lsg. ausfallen.
- 4.6. 3-Methyl-1H-inden aus 11 mit Chloranil. Ein Gemisch von 100 mg (0,77 mmol) 11, 379 mg (1,54 mmol) p-Chloranil und 4 ml C_6H_6 wird 7 Tage bei RT. gerührt. Die rotbraune Suspension wird unter N_2 mit 20 ml PE zentrifugiert, wobei fast alles Choranil ausfällt. Die gelbe Lsg. wird bei $-78^{\circ}/10^{-4}$ Torr eingeengt und im Kugelrohr destilliert. Das im Destillat noch vorhandene C_6H_6 wird durch Einblasen von N_2 abgeschleppt (wobei ca. 10% Produkt verloren gehen). Der gelbliche Rückstand wird mit 2 ml PE versetzt und an Silicagel (Merck Nr. 7734) bei 0° mit PE eluiert. Das Eluat mit Naphthalingeruch wird bei $-78^{\circ}/10^{-4}$ Torr eingeengt und im Kugelrohr bei $-78^{\circ}/10^{-4}$ Torr destilliert: 70 mg (70%) 3-Methyl-1H-inden als blassgelbes Öl. UV (Hexan, 20°): 211 (19 500), 256 (12 090), 281 (596), 292 (396), 308 (256), 321 (126). ^{1}H -NMR (60 MHz, CDCl₃, 37°): 7,5-7,0 (m, 4 H); 6,18 (m, 1 H); 3,29 (m, 2 H); 2,17 (m, 3 H). HR-MS: 130,0780 ($C_{10}H_{10}$, M^{++} , ber. 130,0782)²⁰).
- 4.7. Methylcyclononan aus **6a**. In einem mit H_2 gefüllten Dreihals-Erlenmeyerkolben werden 16 ml Et₂O mit 50 mg Pd/C versetzt und auf -20° gekühlt. Dann wird eine auf -60° vorgekühlte Lsg. von 135 mg (1,04 mmol) **6a** in 2 ml Et₂O zugespritzt und der Magnetrührer eingeschaltet (bei -20° starke H_2 -Aufnahme, nach 15 min 4 mol-Äquiv. H_2 ; H_2 wird durch einen Auto-Hydrator von Comptronix AG erzeugt). Es wird 7 h bei -20° , dann nach Aufwärmen und Druckausgleich 2 h bei 25° unter H_2 gerührt (das letzte mol-Äquiv. H_2 wird erst bei 25° aufgenommen). Nach weiteren 17 h Rühren bei 25° wird der Katalysator abfiltriert, die farblose Lsg. bei $-78^\circ/10^{-4}$ Torr eingeengt und in ein Schliff-V-Rohr destilliert. Zur Abtrennung von H_2 O wird das Destillat in 10 ml PE aufgenommen, über Molekularsieb getrocknet, bei $-78^\circ/10^{-4}$ Torr eingeengt und erneut in ein V-Rohr destilliert: 125 mg (90%) Methylcyclononan als farbloses Öl. $n_D^{20} = 1,4620$ ([30]: 1,4622), d_4^{20} : 0,8425 ([30]: 0,8413). HR-MS: 140,1560 ($C_{10}H_{20}$, M^{++} , ber. 140,1565)²⁰).

²¹) Zur Umkristallisation werden die Kristalle von 6a in einem Spitzkolben bei -30° in der 6fachen Menge an vorgekühltem Pentan gelöst und wenn nötig durch einen Wattebausch filtriert. Durch Kühlung mit fl. N₂ wird abgeschreckt, dann bei -30° aufgetaut. Sobald nur noch wenige Kristalle in der Lsg. vorhanden sind, wird im Luftbad auf -78° abgekühlt. Nach einigen h kristallisiert 6a als weisse Nadeln. Die Mutterlauge wird mit einer Pipette abgesaugt, restliches Pentan bei -35°/0,1 Torr abgedampft.

²²) Weitere spektroskopische Daten sowie Abbildungen der Spektren: [3].

- 5. Synthese von 10-Phenylnonafulven (6b). 5.1. Essigsäure- $(\alpha$ -brombenzyl) ester (1b; $R=C_6H_5$, X=Br). S. [5].
- 5.2. Essigsäure-[(2,4,6,8-cyclononatetraenyl)(phenyl)methyl]ester (5b). S. [11].
- 5.3. 10-Phenylnonafulven (= 9-Benzyliden-1,3,5,7-cyclononatetraen; 6b). S. [14].
- 5.4. Essigsäure-[(cis-bicyclo[6.1.0]nona-2,4,6-trien-9-'anti'-yl)(phenyl)methyl]ester (7). S. [13].
- 5.5. (β -Styryl) cyclooctaletraen (8) aus 7. Die Suspension von 1 g (8 mmol) K(t-BuO) und 2 g (8 mmol) [18]Krone-6 in 15 ml THF wird bei -30° unter N₂ in einem Guss mit einer auf -20° gekühlten Lsg. von 1,1 g (4 mmol) 7 in 4 ml THF versetzt. Das dunkelrote Gemisch wird 1,5 h bei -30° gerührt, dann mit 50 ml vorgekühltem PE/Et₂O 5:1 verdünnt und unter N₂ bei -20° zentrifugiert. Der Rückstand wird mit 2 × 15 ml PE/Et₂O 5:1 gewaschen, die vereinigte Lsg. bei -20° /0,1 Torr eingeengt, in wenig PE/Et₂O aufgenommen und erneut bei -20° zentrifugiert. Die Lsg. wird bei -40° über 50 g desaktiviertes Silicagel¹⁹) mit PE/Et₂O 20:1 rasch chromatographiert (4 Tropfen/s), das Eluat (ca. 150 ml) bei -78° aufgefangen ($R_{\rm f}$ von 8 0,65 PE/Et₂O 20:1) und bei -20° /0,1 Torr eingeengt: 540 mg (66%) 8 als farblose Kristalle, die aus PE (-10° / -78°) umkristallisiert werden. 1 H-NMR: Fig. $^{1.13}$ C-NMR (25 MHz, ($D_{\rm 6}$)Aceton, -20°): 141,4 (s); 137,4 (s); 133,2 (d); 133,0 (d); 132,1 (d); 131,9 (d); 131,8 (d); 131,2 (d); 130,8 (d); 129,1 (d); 128,4 (d); 127,9 (d); 126,7 (d); 126,6 (d)²²). Anal. ber. für C₁₆H₁₄ (206,29): C 93,16, H 6,84; gef.: C 92,81, H 6,58.
- **6.** ¹H-NMR-Analyse von 6a und 6b. 6.1. 10-Phenylnonafulven (6b). Bruker AM-400- Gerät; ca. 0,1 M 6b in mit Ar entgastem CD₂Cl₂ oder (D₆)Aceton, –20°; Spektralbereich 1200 Hz, 64 K Datenpunkte entsprechend einer digitalen Auflösung von 0,04 Hz; Pulsbreite 6,6 μs entsprechend einem Pulswinkel von 80°. Aquisitionszeit 13,7 s, Zahl der Pulse 40. Für das 'resolution enhancement' durch Multiplikation mit einer Gauss-Wägefunktion waren die Parameter wie folgt: Linienverbreiterung –0,5, Gauss-Konstante 0,4. Die spektrale Auflösung ist besser als 0,2 Hz. S. Fig. 2 und 3.

Die Zuordnung der Neunring-Protonen folgt aus NOE- und Entkopplungsexperimenten (vgl. Allg. Teil). Durch Entkopplung von H-C(10) erhält man ein 8-Spin-System, das sich jedoch nicht – wie bei 6c [19] – in erster Näherung graphisch nach 1. Ordnung analysieren lässt, da H-C(2), H-C(4) und H-C(6) bei 6,10, 6,06 und 6,06 ppm erscheinen. Zunächst werden die Subspektren von H-C(1), H-C(7) und H-C(8) graphisch näherungsweise nach 1. Ordnung analysiert. Am Beispiel von H-C(7) geht man wie folgt vor: Aus dem gedehnten (1 Hz/cm) m von H-C(7) werden mit Hilfe von Entkopplungsexperimenten $J(1,7)\approx 0,5$, $J(4,7)\approx 2,2$, $J(5,7)\approx 1,6$, $J(6,7)\approx 4,9$ und $J(7,8)\approx 13,0$ Hz ermittelt. Sodann wird dieses 6-Spin-System, das Kopplungen von H-C(7) mit H-C(1), H-C(4), H-C(5), H-C(6) und H-C(8) umfasst, simuliert und iteriert, wobei für H-C(7) eine recht gute Übereinstimmung zwischen dem exper. und theoretisch ermittelten Spektrum erzielt wird (Fig.6b).

Die übrigen 5 m können nicht nach 1. Ordnung analysiert werden, da H-C(2), H-C(4) und H-C(6) ein System höherer Ordnung bilden. Wohl sind H-C(3) und H-C(5) gut getrennt, bilden jedoch X-Teile von Spektren höherer Ordnung. Sie müssen deshalb je als 8-Spin-Systeme berechnet werden, wobei bei der Simulation alle Kopplungskonstanten zu variieren sind, bis das gerechnete Aufspaltungsmuster mit dem experimentellen möglichst gut übereinstimmt. Aus Fig. 6b geht hervor, dass eine für H-C(5) befriedigende, wenn auch keine vollkom-

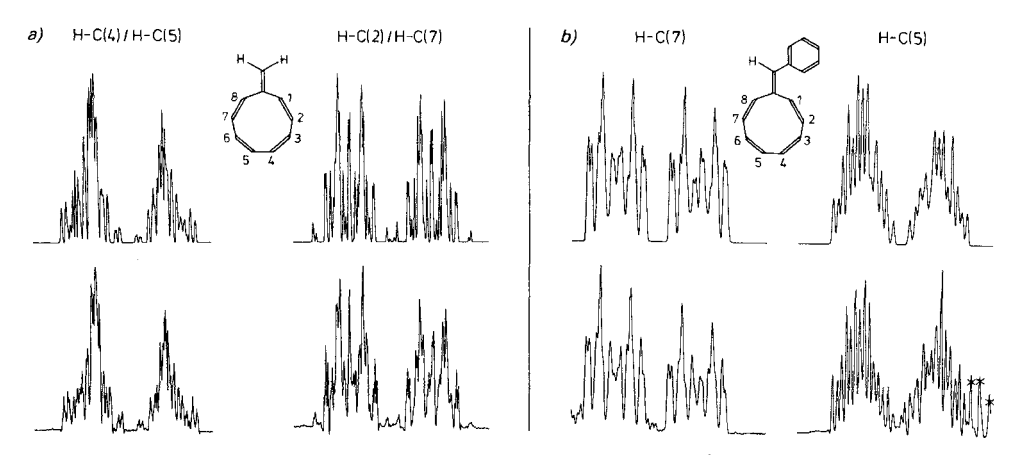


Fig. 6. Vergleich zwischen experimentellen (unten) und simulierten (oben) m des ¹H-NMR-Spektrums von a) **6a** und b) **6b**

mene Übereinstimmung erreicht wird, besonders was die Linienintensitäten angeht. Schliesslich müssen die überlappenden m von H-C(2), H-C(4) und H-C(6) zusammen simuliert und iteriert werden, was dadurch erschwert wird, dass die Schwerpunkte von H-C(4) und H-C(6) nur um 0,8 Hz auseinanderliegen, so dass die Zuordnung nicht eindeutig ist. Schliesslich werden die aus Teil-Analysen gewonnenen Werte gesamthaft simuliert und iteriert. Insgesamt werden im exper. Spektrum der Ring-Protonen von 6b (bei Entkopplung von H-C(10) 1378 Linien beobachtet. Davon sind 541 zugeordnet worden. Die resultierende Summe der Fehlerquadrate (RMS-Wert) beträgt 0,15 Hz²³) 24).

Alle Simulationen und Iterationen wurden auf einem Aspect-2000-Computer mit 256 K 'memory', Mehrfarbenbildschirm, 'floppy disk' FDD 280 und Analogschreiber durchgeführt. Für Berechnungen diente das Bruker PANIC-Programm [31].

6.2. Nonafulven (6a). Bedingungen analog 6.1: Spektralbereich 600 Hz, 64 K Datenpunkte, entsprechend einer digitalen Auflösung von 0,016 Hz; Pulsbreite 6,6 µs entsprechend einem Pulswinkel von 80°. Aquisitionszeit 13,75 s, Zahl der Pulse 32. 'Resolution enhancement', vgl. 6.1. Die spektrale Auflösung ist besser als 0,15 Hz. S. Fig. 2 und 3.

Die Zuordnung der Paare von Ring-Protonen folgt aus NOE- und Entkopplungsexperimenten. Durch Entkopplung von H-C(10)/H'-C(10) erhält man ein AA'MM'XX'YY'-Spektrum. Dieses System höherer Ordnung kann nicht durch graphische Analyse der m analysiert werden. Deshalb werden die gemittelten Werte von Paaren von Kopplungskonstanten von **6b** als Startwerte genommen. Dies ist deshalb statthaft, weil der elektronische Effekt des Phenyl-Rings auf das π -System von **6b** klein ist, was auch durch die 13 C-NMR-Daten belegt wird. Andererseits sind die δ -Werte genügend genau bekannt. Mit diesen Startwerten wird jedes der 4m einzeln simuliert und iteriert, wobei die Kopplungskonstanten freigegeben werden, bis das berechnete Aufspaltungsmuster möglichst gut mit dem experimentellen übereinstimmt. Abschliessend werden alle Werte gesamthaft simuliert und iteriert. Von den beobachteten 1838 Linien des exper. Spektrums sind 873 zugeordnet worden. Der RMS-Wert beträgt $0,135 \, \text{Hz}^{23})^{24}$).

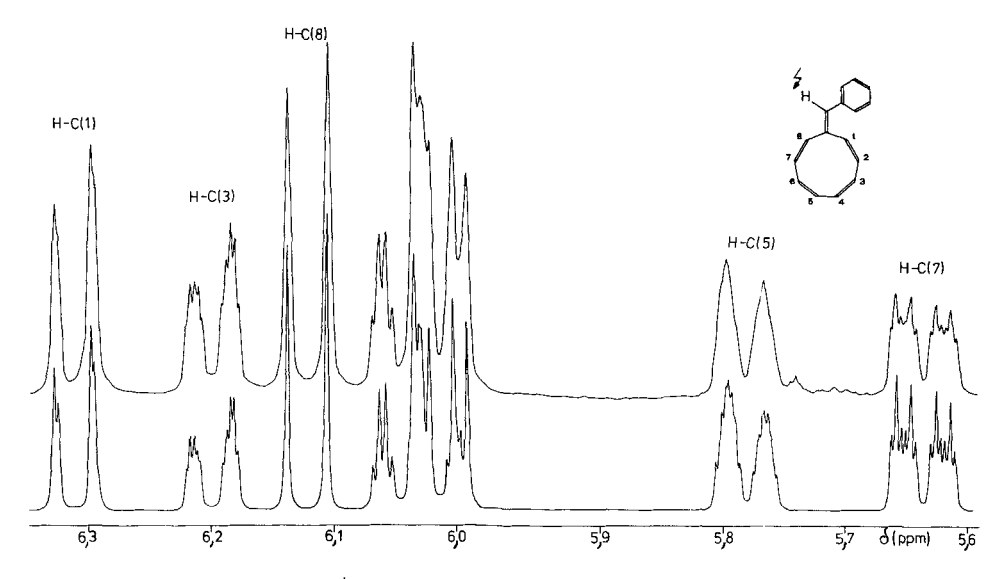


Fig. 7. Ausschnitt aus dem 400- $MHz^{-1}H$ -NMR-Spektrum von **6b** bei normaler Auflösung. Oben: exper. Spektrum ((D_6)Aceton, -40° , Entkopplung von H-C(10)); unten: simuliertes Spektrum.

²³⁾ Rechnerisch wird ein mittlerer Fehler der Kopplungskonstanten J von 0,05 Hz abgeschätzt. Es würde jedoch nicht überraschen, wenn die Abweichung einzelner J-Werte, bei 6b insbesondere von H-C(2), H-C(4) und H-C(6) und bei 6a von H-C(4) und H-C(5), grösser wäre. Deshalb wurden in Tab. 1 nur Kopplungen > 1 Hz wiedergegeben.

²⁴) Beim vollständig analysierten ¹H-NMR-Spektrum von 6c [19] [21] wurden 92% der theoretischen 2304 Übergänge zugeordnet, wobei ein RMS-Wert von 0,056 Hz und eine Abweichung der J-Werte von ±0,02 Hz resultierte.

6.3. Fehler bei der ^{1}H -NMR-Analyse mässig aufgelöster Spektren. Abschliessend sei darauf hingewiesen, dass normal aufgelöste Spektren von Nonafulvenen, wo Fernkopplungen verwischt werden können und deshalb breite m entstehen, zur Bestimmung sogar grosser vicinaler Kopplungskonstanten nicht ausreichen. Dies wird aus Fig. 7 ersichtlich. Trotz scheinbarer Übereinstimmung weichen einige Kopplungskonstanten des Parametersatzes von Fig. 7 (Werte in Klammern) erheblich von den in Tab. 1 angenähert angegebenen Werten ab: J(1,2) = 12,19 (12,5), J(2,3) = 2,80 (2,3), J(3,4) = 11,65 (12,1), J(4,5) = 3,00 (?), J(5,6) = 12,29 (12,2), J(6,7) = 4,89 (4,7) und J(7,8) = 13,08 (13,2)²⁵).

Folgende Punkte sind zur Erreichung optimal aufgelöster Spektren von Nonafulvenen (vgl. Fig. 3 mit Fig. 7) wichtig: a) Wahl eines entgasten niedrig-viscosen Lsgm. wie (D_6)Aceton oder CD_2Cl_2 ; b) Aufnahme des Spektrums bei möglichst hoher Temp. (für $\mathbf{6a}$ und $\mathbf{6b}$, -20°); c) Verarbeitung einer grossen Zahl von Datenpunkten zur Erreichung einer hohen digitalen Auflösung (für $\mathbf{6a}$ und $\mathbf{6b}$ in Fig. 3, 0,04 Hz); d) grosse Aquisitionszeit des FID, damit Informationen über Fernkopplungen nicht verloren gehen (für $\mathbf{6b}$, 13,7 s); e) 'resolution enhancement' durch Multiplikation des FID mit einer Wägefunktion; dadurch wird die Auflösung auf Kosten des Signal/Rausch-Verhältnisses verbessert.

LITERATURVERZEICHNIS

- [1] A. Escher, M. Neuenschwander, Helv. Chim. Acta 1987, 70, 49.
- [2] M. Neuenschwander, A. Frey, Chimia 1974, 28, 117, 119.
- [3] J. Furrer, Dissertation, Bern, 1986.
- [4] A. Frey, Dissertation, Bern, 1975.
- [5] P. Bigler, H. Mühle, M. Neuenschwander, Synthesis 1978, 593; M. Neuenschwander, P. Bigler, K. Christen, R. Iseli, R. Kyburz, H. Mühle, Helv. Chim. Acta 1978, 61, 2047.
- [6] P. Bigler, S. Schönholzer, M. Neuenschwander, Helv. Chim. Acta 1978, 61, 2059.
- [7] J. Thiele, Ber. Dtsch. Chem. Ges. 1900, 33, 666; J. Thiele, H. Balhorn, Justus Liebigs Ann. Chem. 1906, 348, 1.
- [8] R. Kyburz, H. Schaltegger, M. Neuenschwander, Helv. Chim. Acta 1971, 54, 1037; M. Neuenschwander, R. Iseli, ibid. 1977, 60, 1061.
- [9] G. Boche, H. Böhme, H. Martens, Angew. Chem. 1969, 81, 565.
- [10] G. Boche, A. Bieberbach, Chem. Ber. 1978, 111, 2850; G. Boche, M. Bernheim, D. Lewaldt, B. Ruisinger, Tetrahedron Lett. 1979, 4285.
- [11] G. Sabbioni, M. Neuenschwander, Helv. Chim. Acta 1985, 68, 623.
- [12] T.J. Katz, P.J. Garratt, J. Am. Chem. Soc. 1963, 85, 2852; ibid. 1964, 86, 5194; E.A. LaLancette, R.E. Benson, ibid. 1963, 85, 2853; ibid. 1965, 87, 1941.
- [13] M. Neuenschwander, W. Rutsch, P. Engel, Tetrahedron Lett. 1979, 233; W. Rutsch, A. Frey, M. Neuenschwander, P. Engel, Helv. Chim. Acta 1979, 62, 718.
- [14] G. Sabbioni, A. Otter, R. W. Millar, M. Neuenschwander, Helv. Chim. Acta 1985, 68, 1543.
- [15] A. G. Anastassiou, F. L. Setliffe, G. W. Griffin, J. Org. Chem. 1966, 31, 2705; M. Neuenschwander, R. Vögeli, H.-P. Fahrni, H. Lehmann, J.-P. Ruder, Helv. Chim. Acta 1977, 60, 1073.
- [16] M. Neuenschwander, A. Frey, Chimia 1975, 29, 212.
- [17] E. Sturm, K. Hafner, Angew. Chem. 1964, 20, 862; H. Schaltegger, M. Neuenschwander, D. Meuche, Helv. Chim. Acta 1965, 48, 955.
- [18] W. von E. Doering, D. H. Wiley, *Tetrahedron* 1960, 11, 183; W. K. Schenk, R. Kyburz, M. Neuenschwander, *Helv. Chim. Acta* 1975, 58, 1099.
- [19] A. Otter, M. Neuenschwander, H.P. Kellerhals, Magn. Reson. Chem. 1986, 24, 350.
- [20] A. Otter, G. Sabbioni, M. Neuenschwander, H.P. Kellerhals, Helv. Chim. Acta 1986, 69, 124.
- [21] A. Otter, Dissertation, Bern, 1984.
- [22] G. Sabbioni, Dissertation, Bern, 1984.

Dieses überraschende Ergebnis bedeutet, dass bei den von uns kürzlich publizierten ³J-Werten von Nonafulvenen, deren ¹H-NMR-Spektren wegen mässiger Auflösung nicht vollständig analysiert werden konnten, ein Fehler von ±0,5 Hz (statt ±0,1 Hz [20]) zu erwarten ist. Alle in [20] gezogenen Folgerungen über die räumliche Anordnung von Nonafulvenen sind jedoch korrekt!

- [23] K. Hafner, H. Tappe, Angew. Chem. 1969, 81, 564; ibid. Int. Ed. 1969, 8, 593; H. Tappe, Dissertation, TH Darmstadt, 1972.
- [24] M.J.S. Dewar, W. Thiel, J. Am. Chem. Soc. 1977, 99, 4899.
- [25] I. A. Ibers, W. C. Hamilton, Int. Tables for X-Ray Crystallography, The Kynoch Press, Birmingham, 1974, Vol. IV, S. 71.
- [26] P. Engel, Acta Crystallogr., Sect A 1978, 34/S, 348.
- [27] W.K. Schenk, R. Kyburz, M. Neuenschwander, Helv. Chim. Acta 1975, 58, 1099.
- [28] G. Boche, H. Weber, D. Martens, A. Bieberbach, Chem. Ber. 1978, 111, 2480.
- [29] M. Neuenschwander, R. Vögeli, H.-P. Fahrni, H. Lehmann, J.-P. Ruder, Helv. Chim. Acta 1977, 60, 1073.
- [30] A. C. Cope, E. Ciganek, C. F. Howell, E. Schweizer, J. Am. Chem. Soc. 1961, 82, 4663; vgl. auch E.S. Balenkova, N. A. Khafizova, M. L. Frank, Chem. Abstr. 1965, 62, 2717h.
- [31] Bruker Aspect 2000 NMR Software Manual, Teil 11, 'NMR-Simulation und Iteration', Version 820601.